



# **Численное решение краевой задачи для уравнения Пуассона с потенциалом в прямоугольной области**

Выполнил: Мякшин Владислав Эдуардович, 614 группа  
9 вариант

Москва, 2022 г.

## Постановка задачи

В прямоугольнике  $\Pi = (x, y): A_1 \leq x \leq A_2, B_1 \leq y \leq B_2$ , граница  $\Gamma$  которого состоит из отрезков

$$\lambda_R = \{(A_2, y), B_1 \leq y \leq B_2\}, \lambda_L = \{(A_1, y), B_1 \leq y \leq B_2\},$$

$$\lambda_T = \{(x, B_2), A_1 \leq x \leq A_2\}, \lambda_B = \{(x, B_1), A_1 \leq x \leq A_2\},$$

Рассматривается дифференциальное уравнение Пуассона с потенциалом

$$-\Delta u + q(x, y)u = F(x, y), \quad (1)$$

в котором оператор Лапласа

$$\Delta u = \frac{\partial}{\partial x} \left( k(x, y) \frac{\partial u}{\partial x} \right) + \frac{\partial}{\partial y} \left( k(x, y) \frac{\partial u}{\partial y} \right)$$

Для выделения единственного решения уравнение (1) дополняется граничными условиями. На каждом отрезке границы прямоугольника  $\Pi$  задаются следующие условия:

$$\lambda_R: \left( k \frac{\partial u}{\partial n} \right) (x, y) = \psi(x, y) \quad \lambda_L: \left( k \frac{\partial u}{\partial n} \right) (x, y) = \psi(x, y)$$

$$\lambda_T: \left( k \frac{\partial u}{\partial n} \right) (x, y) = \psi(x, y) \quad \lambda_B: \left( k \frac{\partial u}{\partial n} \right) (x, y) = \psi(x, y)$$

Функция  $F(x, y)$ ,  $\phi(x, y)$ , коэффициент  $k(x, y)$ , потенциал  $q(x, y)$  считаются известными. Требуется найти функцию  $u(x, y)$ , удовлетворяющую уравнению (1) и граничным условиям.

1. Пользуясь явным видом функций  $u(x, y)$ ,  $k(x, y)$ ,  $q(x, y)$  определить правую часть уравнения Пуассона  $F(x, y)$  и граничные условия;
2. Собрать разностную схему для уравнения Пуассона с граничными условиями;
3. Разработать последовательный код программы, вычисляющий приближенное решение разностной схемы методом наименьших невязок, проверить точность схемы, выполнив расчеты на сгущающихся сетках  
 $(M, N) = (20, 20), (40, 40), (80, 80), (160, 160)$ ;
4. Используя средства библиотеки MPI, разработать параллельный код программы, вычисляющий приближенное решение разностной схемы методом наименьших невязок, проверить качество работы алгоритма, выполнив расчеты на сетке  $(M, N) = (160, 160)$  на одном, четырех и шестнадцати процессах;
5. Провести исследование параллельных характеристик MPI-программы, выполнив расчеты на вычислительном комплексе IBM Polus;
6. Разработать гибридный MPI/ OpenMP код программы, провести исследование параллельных характеристик гибридной программы и сравнить полученные результаты с программой, не использующей директивы OpenMP.

В соответствии с вариантом задания рассматриваю следующие данные:

- $A_1 = -2, A_2 = 3, B_1 = -1, B_2 = 4$
- $u(x, y) = \frac{2}{1+x^2+y^2}$
- $k(x, y) = 1 + (x + y)^2$
- $q(x, y) = 1$

Задача практикума заключается в восстановлении известной гладкой функции  $u(x, y)$  по ее образу  $F(x, y) = -\Delta u + q(x, y)$  и ее граничным значениям.

## Определение функций $F(x, y), \psi(x, y)$

Определим функцию  $F(x, y)$ . Для этого вычислим оператор Лапласа, используя явный вид функций  $u(x, y), k(x, y)$

$$\frac{\partial u}{\partial x} = \frac{-4x}{1 + x^2 + y^2}$$

$$\frac{\partial u}{\partial y} = \frac{-4y}{1 + x^2 + y^2}$$

$$\Delta u = \frac{16x^2}{(1 + x^2 + y^2)^3} - \frac{8}{(1 + x^2 + y^2)^2} + \frac{16y^2}{(1 + x^2 + y^2)^3}$$

$$F(x, y) = -\frac{16x^2 + 16y^2}{(1 + x^2 + y^2)^3} + \frac{8}{(1 + x^2 + y^2)^2} + \frac{2}{1 + x^2 + y^2}$$

Граничные условия:

$$\psi(x, y) = \begin{cases} u_x(-2, y) = \frac{8}{(5 + y^2)^2} \\ u_x(3, y) = \frac{-12}{(10 + y^2)^2} \\ u_y(x, -1) = \frac{4}{(2 + x^2)^2} \\ u_y(x, 4) = \frac{-16}{(17 + x^2)^2} \end{cases}$$

## Разностная схема решения задачи

Краевые задачи для уравнения Пуассона с потенциалом (1) предлагается численно решать методом конечных разностей. В расчетной области  $\Pi$  определяется равномерная прямоугольная сетка  $\bar{\omega}_h = \bar{\omega}_1 \times \bar{\omega}_2$ , где

$$\bar{\omega}_1 = \{x_i = -2 + ih_1, i = \overline{0, M}\}, \quad \bar{\omega}_2 = \{y_j = -1 + jh_2, j = \overline{0, N}\}$$

Здесь  $h_1 = 5/M, h_2 = 5/N$ . Через  $\omega_h$  обозначим множество внутренних узлов сетки  $\bar{\omega}_h$ , т.е. множество узлов сетки прямоугольника, не лежащих на границе  $\Gamma$ .

Рассмотрим линейное пространство  $H$  функций, заданных на сетке  $\bar{\omega}_h$ . Обозначим через  $w_{ij}$  значение сеточной функции  $w \in H$  в узле сетки  $(x_i, y_j) \in \bar{\omega}_h$ . Будем считать, что в пространстве  $H$  задано скалярное произведение и евклидова норма

$$[u, v] = \sum_{i=0}^M h_1 \sum_{j=0}^N h_2 \rho_{ij} u_{ij} v_{ij} = h_1 h_2 \sum_{i=0}^M \sum_{j=0}^N \rho_{ij} u_{ij} v_{ij},$$

$$\|u\|_E = \sqrt{[u, u]}$$

Весовая функция  $\rho_{i,j} = \rho^{(1)}(x_i) \rho^{(2)}(y_j)$ , где

$$\rho^{(1)}(x_i) = \begin{cases} 1, & 1 \leq i \leq M-1 \\ 1/2, & i = 0, i = M \end{cases}, \quad \rho^{(2)}(y_j) = \begin{cases} 1, & 1 \leq j \leq N-1 \\ 1/2, & j = 0, j = N \end{cases}$$

В методе конечных разностей дифференциальная задача математической физики заменяется конечно-разностной операторной задачей вида

$$Aw = B,$$

где  $A: H \rightarrow H$  – оператор, действующий в пространстве сеточных функций,  $B \in H$  – известная правая часть. Задача (5) называется разностной схемой. Решение этой задачи считается численным решением исходной дифференциальной задачи.

При построении разностной схемы следует аппроксимировать все уравнения краевой задачи их разностными аналогами – сеточными уравнениями, связывающими значения искомой сеточной функции в узлах сетки. Полученные таким образом уравнения должны быть функционально независимыми, а их общее количество – совпадать с числом неизвестных, т.е. с количеством узлов сетки.

Уравнение (1) во всех внутренних точках сетки аппроксимируется разностным уравнением

$$-\Delta_h w_{ij} + q_{ij} w_{ij} = F_{ij}, i = \overline{1, M-1}, j = \overline{1, N-1},$$

в котором  $F_{ij} = F(x_i, y_j), q_{ij} = q(x_i, y_j)$ , разностный оператор Лапласа

$$\Delta_h w_{ij} = \frac{1}{h_1} \left( k(x_i + 0.5h_1, y_j) \frac{w_{i+1j} - w_{ij}}{h_1} \right) - k(x_i - 0.5h_1, y_j) \frac{w_{ij} - w_{i-1j}}{h_1} +$$

$$+ \frac{1}{h_2} \left( k(x_i, y_j + 0.5h_2) \frac{w_{ij+1} - w_{ij}}{h_2} \right) - k(x_i, y_j - 0.5h_2) \frac{w_{ij} - w_{ij-1}}{h_2}.$$

Введем обозначения правой и левой разностных производных по переменным  $x, y$  соответственно:

$$w_{x,ij} = \frac{w_{i+1j} - w_{ij}}{h_1}, \quad w_{\bar{x},ij} = w_{x,i-1j} = \frac{w_{ij} - w_{i-1j}}{h_1},$$

$$w_{y,ij} = \frac{w_{ij+1} - w_{ij}}{h_2}, \quad w_{\bar{y},ij} = w_{y,ij-1} = \frac{w_{ij} - w_{ij-1}}{h_2},$$

а также определим сеточные коэффициенты

$$a_{ij} = k(x_i - 0.5h_1, y_j), b_{ij} = k(x_i, y_i - 0.5h_2)$$

С учетом принятых обозначений (6)-(7) разностный оператор Лапласа можно представить в более компактном и удобном виде

$$\Delta_h w_{ij} = (aw_{\bar{x}})_{x,ij} + (bw_{\bar{y}})_{y,ij}.$$

В самом деле, из (5) с учетом (6)-(7) получаем

$$\begin{aligned} \Delta_h w_{ij} &= \frac{1}{h_1} (a_{i+1j} w_{x,ij} - a_{ij} w_{\bar{x},ij}) + \frac{1}{h_2} (b_{ij+1} w_{y,ij} - b_{ij} w_{\bar{y},ij}) = \\ &= \frac{1}{h_1} (a_{i+1j} w_{\bar{x},i+1j} - a_{ij} w_{\bar{x},ij}) + \frac{1}{h_2} (b_{ij+1} w_{\bar{y},ij+1} - b_{ij} w_{\bar{y},ij}) = \\ &= (aw_{\bar{x}})_{x,ij} + (bw_{\bar{y}})_{y,ij}. \end{aligned}$$

Аппроксимация граничных условий второго рода для задачи описанной вариантом имеет вид:

$$\begin{aligned} \frac{2}{h_2} (bw_{\bar{y}})_{iN} + q_{iN} w_{iN} - (aw_{\bar{x}})_{x,iN} &= F_{iN} + \frac{2}{h_2} \psi_{iN} - \text{верх} \\ -\frac{2}{h_2} (bw_{\bar{y}})_{i1} + q_{i0} w_{i0} - (aw_{\bar{x}})_{x,i0} &= F_{i0} + \frac{2}{h_2} \psi_{i0} - \text{низ} \\ -\frac{2}{h_1} (aw_{\bar{x}})_{1j} + q_{0j} w_{0j} - (bw_{\bar{y}})_{y,0j} &= F_{0j} + \frac{2}{h_1} \psi_{0j} - \text{слева} \\ \frac{2}{h_1} (aw_{\bar{x}})_{Mj} + q_{Mj} w_{Mj} - (bw_{\bar{y}})_{y,Mj} &= F_{Mj} + \frac{2}{h_1} \psi_{Mj} - \text{справа} \end{aligned}$$

Сеточных уравнений недостаточно, чтобы определить разностную схему для задачи с граничными условиями Неймана. Требуется сеточные уравнения для угловых точек прямоугольника П. Они имеют следующий вид:

Сеточные уравнения для угловых точек прямоугольника:

$$\begin{aligned} -(2/h_1)(aw_{\bar{x}})_{10} - (2/h_2)(bw_{\bar{y}})_{01} + q_{00} \omega_{00} &= F_{00} + (2/h_1 + 2/h_2) \psi_{00} \\ -(2/h_1)(aw_{\bar{x}})_{M0} - (2/h_2)(bw_{\bar{y}})_{M1} + q_{M0} \omega_{M0} &= F_{M0} + (2/h_1 + 2/h_2) \psi_{M0} \\ -(2/h_1)(aw_{\bar{x}})_{10} - (2/h_2)(bw_{\bar{y}})_{MN} + q_{MN} \omega_{MN} &= F_{MN} + (2/h_1 + 2/h_2) \psi_{MN} \\ -(2/h_1)(aw_{\bar{x}})_{1N} - (2/h_2)(bw_{\bar{y}})_{0N} + q_{0N} \omega_{0N} &= F_{0N} + (2/h_1 + 2/h_2) \psi_{0N} \end{aligned}$$

Соберем все уравнения, получим систему линейных алгебраических уравнений (СЛАУ):

$$\left\{ \begin{array}{l} -\Delta_h \omega_{ij} + q_{ij} \omega_{ij} = F_{ij}, \\ \frac{2}{h_2} (bw_{\bar{y}})_{iN} + q_{iN} w_{iN} - (aw_{\bar{x}})_{x,iN} = F_{iN} + \frac{2}{h_2} \psi_{iN} \\ -\frac{2}{h_2} (bw_{\bar{y}})_{i1} + q_{i0} w_{i0} - (aw_{\bar{x}})_{x,i0} = F_{i0} + \frac{2}{h_2} \psi_{i0} \\ -\frac{2}{h_1} (aw_{\bar{x}})_{1j} + q_{0j} w_{0j} - (bw_{\bar{y}})_{y,0j} = F_{0j} + \frac{2}{h_1} \psi_{0j} \\ \frac{2}{h_1} (aw_{\bar{x}})_{Mj} + q_{Mj} w_{Mj} - (bw_{\bar{y}})_{y,Mj} = F_{Mj} + \frac{2}{h_1} \psi_{Mj} \\ -(2/h_1)(aw_{\bar{x}})_{10} - (2/h_2)(bw_{\bar{y}})_{01} + q_{00} \omega_{00} = F_{00} + (2/h_1 + 2/h_2) \psi_{00} \\ -(2/h_1)(aw_{\bar{x}})_{M0} - (2/h_2)(bw_{\bar{y}})_{M1} + q_{M0} \omega_{M0} = F_{M0} + (2/h_1 + 2/h_2) \psi_{M0} \\ -(2/h_1)(aw_{\bar{x}})_{10} - (2/h_2)(bw_{\bar{y}})_{MN} + q_{MN} \omega_{MN} = F_{MN} + (2/h_1 + 2/h_2) \psi_{MN} \\ -(2/h_1)(aw_{\bar{x}})_{1N} - (2/h_2)(bw_{\bar{y}})_{0N} + q_{0N} \omega_{0N} = F_{0N} + (2/h_1 + 2/h_2) \psi_{0N} \end{array} \right.$$

## Метод решения системы линейных алгебраических уравнений

Приближенное решение системы уравнений (6) для сформулированных выше краевых задач может быть получено итерационным методом наименьших невязок. Этот метод позволяет получить последовательность сеточных функций  $\omega^{(k)} \in H, k = 1, 2, \dots$ , сходящуюся по норме пространства  $H$  к решению разностной схемы, т.е.

$$\|\omega - \omega^{(k)}\|_E \rightarrow 0, k \rightarrow \infty$$

Начальное приближение  $\omega^{(0)}$  можно выбрать любым способом, например, равным нулю во всех точках расчетной сетки.

Метод является одношаговым. Итерация  $\omega^{(k+1)}$  вычисляется по итерации  $\omega^k$  согласно равенствам:

$$\omega_{ij}^{(k+1)} = \omega_{ij}^{(k)} - \tau_{k+1} r_{ij}^{(k)},$$

где невязка  $r^{(k)} = A\omega^{(k)} - B$ , итерационный параметр

$$\tau_{k+1} = \frac{[Ar^{(k)}, r^{(k)}]}{\|Ar^{(k)}\|_E^2}.$$

В качестве условия остановки итерационного процесса следует использовать неравенство

$$\|\omega^{(k+1)} - \omega^{(k)}\|_E < \epsilon,$$

где  $\epsilon$  - положительное число, определяющее точность итерационного метода. Оценку точности приближенного решения сеточных уравнений можно проводить в других нормах пространства сеточных функций, например, в максимум норме

$$\|\omega\|_C = \max_{x \in \bar{\omega}_h} |\omega(x)|$$

Константу  $\epsilon$  для данной задачи предлагается взять равное  $10^{-6}$ .

# Краткое описание проделанной работы по созданию MPI программы и гибридной реализации MPI/OpenMP

Была разобрана последовательная программа, вычисляющая приближенное решение разностной схемы методом наименьших невязок, и проверена точность вычислений.

$$(M, N) = (20, 20), (40, 40), (80, 80), (160, 160)$$

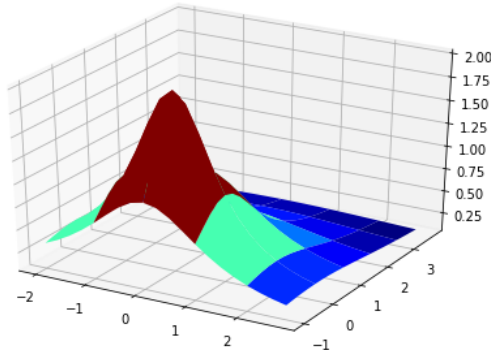


Рисунок 1:  $(M, N) = (20, 20)$ . Число итераций: 980.

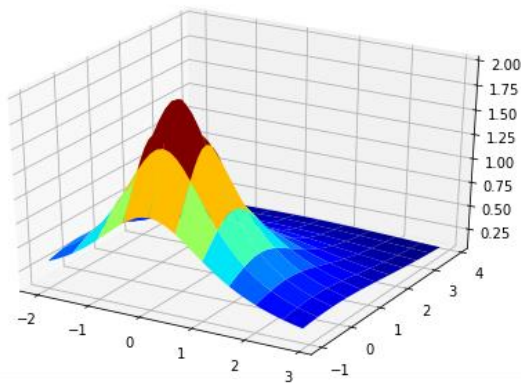


Рисунок 2:  $(M, N) = (40, 40)$ . Число итераций: 3671.

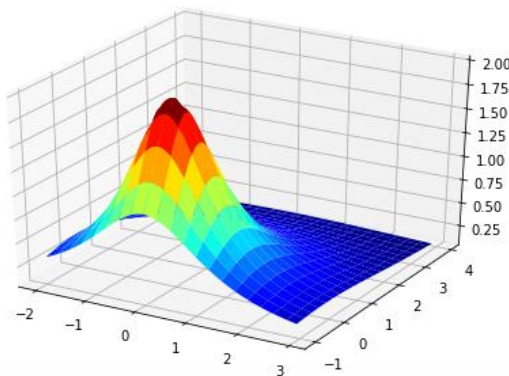


Рисунок 3:  $(M, N) = (80, 80)$ . Число итераций: 12421.

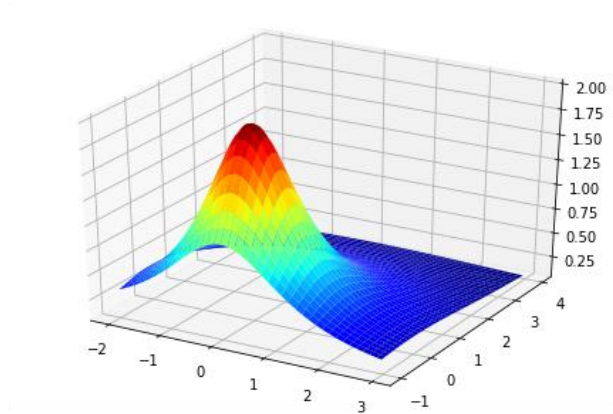


Рисунок 4:  $(M, N) = (160, 160)$ . Число итераций: 43322.

Расчетная область разбита с помощью двумерного разбиения на подобласти таким образом, что отношение количества узлов по переменным  $x$  и  $y$  в каждой подобласти принадлежит диапазону  $[1/2, 2]$ , и количество узлов по переменным  $x$  и  $y$  любых двух подобластей отличается не более чем, на единицу.

В каждой подобласти была создана своя часть сетки. Каждый процесс для своей части сетки считает  $(B, \omega) \rightarrow A\omega \rightarrow (A\omega - B) \rightarrow r \rightarrow Ar$ .

Метод минимальных невязок работает до момента, пока евклидова норма разницы решения на текущем и предыдущем шаге не будет меньше  $10^{-6}$ .

В ходе работы метода для расчета работы оператора  $A$  на матрицы  $\omega$  и  $r$  используется разностные производные. Для производных нужны значения крайних векторов от соседних процессов, для этого используется **MPI\_Isend**, для отправки без блокирования текущего процесса, и **MPI\_Recv**, для получения соседних векторов, прием блокирующий, так как без получения этих значений выполнение дальнейшего расчета процессов невозможен.

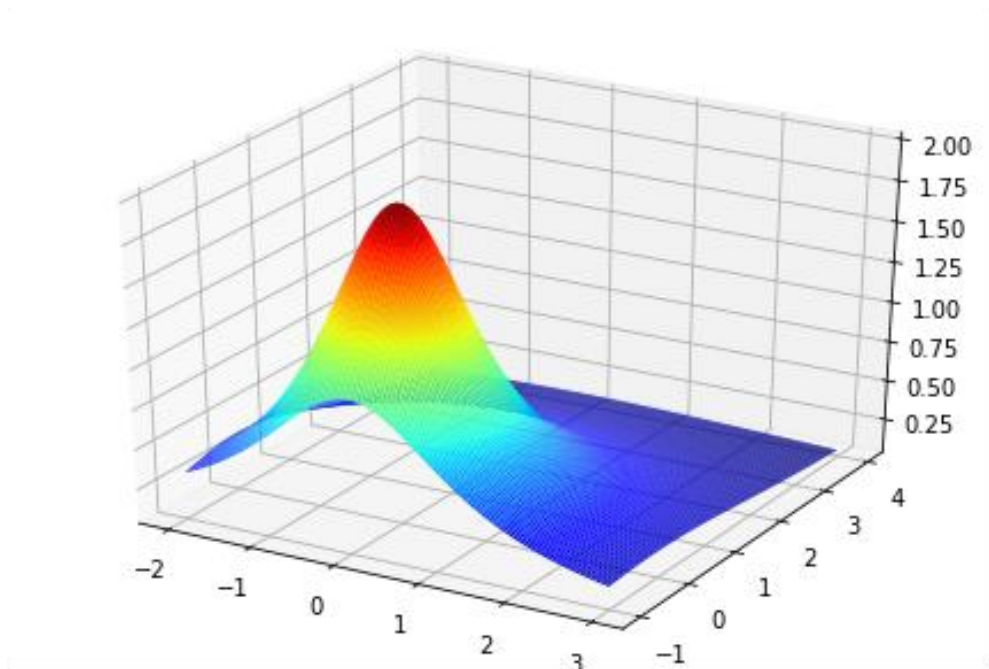


Рисунок 5:  $(M, N) = (500, 1000)$



Число процессов MPI	Число точек сетки $M \times N$	Время решения (с)	Ускорение
4	$500 \times 500$	210,256	1
8	$500 \times 500$	111,251	1,88992458
16	$500 \times 500$	62,198	3,38043024
32	$500 \times 500$	32,934	6,38416226
4	$500 \times 1000$	340,609	1
8	$500 \times 1000$	197,628	1,72348554
16	$500 \times 1000$	110,382	3,08572956
32	$500 \times 1000$	56,653	6,01219706

Таблица 1. Таблица с результатами расчетов на ПВС IBM Polus (MPI)

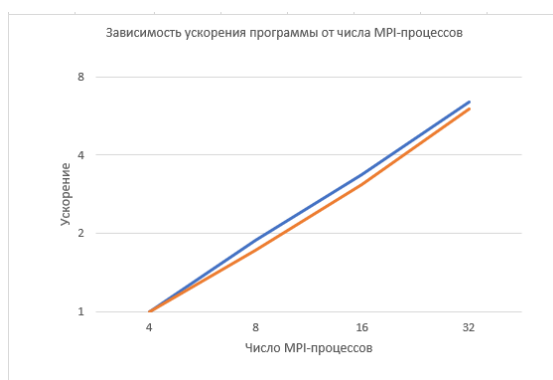


Рисунок 6: Зависимость ускорения программы от числа MPI-процессов на Polus

Множество циклов в данной задаче можно распараллелить с помощью директив OpenMP. Это возможно сделать, так как значения внутри циклов не зависят друг от друга. Операция умножения матрицы на матрицу тоже была распараллелена, используя `pragma omp parallel for reduction(+:ans)`. Но прироста времени по сравнению с обычным MPI нет.

Число процессов MPI	Количество OMP нитей в процессе	Число точек сетки $M \times N$	Время решения (с)	Ускорение
1	4	$500 \times 500$	410,565	1
2	4	$500 \times 500$	230,923	1,77793031
4	4	$500 \times 500$	123,84	3,31528585
8	4	$500 \times 500$	65,431	6,27477801
1	4	$500 \times 1000$	611,321	1
2	4	$500 \times 1000$	380,456	1,6068113
4	4	$500 \times 1000$	183,341	3,33433875
8	4	$500 \times 1000$	99,345	6,15351553

Таблица 2. Таблица с результатами расчетов на ПВС IBM Polus (MPI-OpenMP)

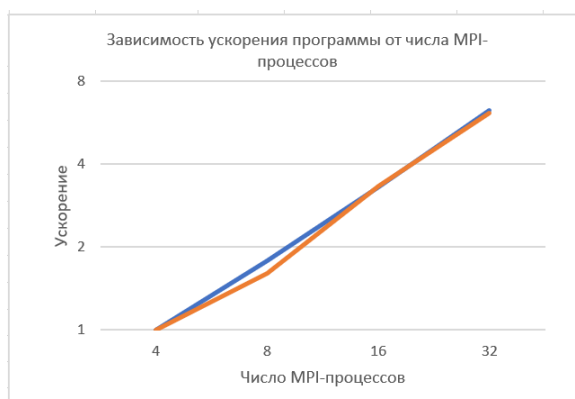


Рисунок 7: Зависимость ускорения программы с OMP от числа MPI-процессов на Polus